

BÖLÜM 21

KARDİYOVASKÜLER MANYETİK REZONANS İNCELEME

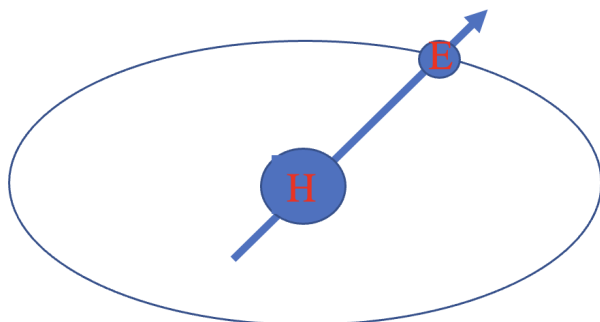
Emre ÖZÇALIK¹

GENEL BİLGİLER

Kardiyovasküler manyetik rezonans (KMR) görüntüleme, ionize radyasyon kullanmadan kalbin morfolojisini, yapısını ve işlevini hakkında detaylı bilgi sunan bir yöntemdir. Kardiyovasküler manyetik rezonans (KMR) görüntülemede ionize radyasyon yerine manyetik alan ve radyofrekans (RF) kullanılır. İyonize radyasyon kullanılmamasına ilave diğer bir önemli avantajı ise sınırsız sayıda görüntü kesiti elde edilmesidir.

TEMEL PRENSİPLER

Genel olarak insan vücudunun %70'ini su (H_2O) oluşturur. Yani insan vücudunda bol miktarda hidrojen atomu bulunur. Her hidrojen atomu bir adet proton içerken, nötron içermez. Yörüngesinde ise bir adet elektron içerir (Şekil 1). Bu yüzden hidrojen atomu proton olarak da isimlendirilir. Her protonun rastgele olan manyetik bir ekseni vardır. KMR görüntüleme hidrojen atomunun bu manyetik özelliğine dayanarak görüntü elde edilmesine dayanır. Bu nedenle bu tatkîke nükleer manyetik rezonans görüntüleme de denir.



Şekil 1. Protonun (Hidrojen atomu) rastgele olan manyetik bir ekseni vardır.

Hasta manyetik tarayıcı içindeyken dışardan statik manyetik bir alan uygulanır (B_0). Bu manyetik alan nedeniyle protonlar senkron bir şekilde bu statik manyetik alan yönünde hizalanırlar ve ana manyetik alan doğrultusunda bir eksen etrafında dönerler. Bu dönmeye devinim (precession) denir. Dışardan uygulanan manyetik alan gücü artırıldıkça, protonların devinim sıklığı (precession frequency) da doğrusal olarak artar (Şekil 2).

¹ Uzm. Dr., Karabük Eğitim ve Araştırma Hastanesi, emreozcalik@hotmail.com



KAYNAKLAR

1. Schelbert EB, Messroghli DR. State of the art: clinical applications of cardiac T1 mapping. *Radiology*. 2016;278(3):658–676.
2. Botnar RM, et al. Improved coronary artery definition with T2-weighted, free-breathing, three-dimensional coronary MRA. *Circulation*. 1999; 99(24):3139–3148.
3. Foltz WD, et al. T2 fluctuations in ischemic and post-ischemic viable porcine myocardium in vivo. *J Cardiovasc Magn Reson*. 2006;8(3):469–474.
4. M Grothoff, C Elpert, J Hoffmann, et al.: Right ventricular injury in ST-elevation myocardial infarction: risk stratification by visualization of wall motion, edema, and delayed-enhancement cardiac magnetic resonance. *Circ Cardiovasc Imaging*. 5:60-682012
5. Eitel, S de Waha, J Wöhrle, et al.: Comprehensive prognosis assessment by CMR imaging after ST-segment elevation myocardial infarction. *J Am Coll Cardiol*. 64:1217-1226 2014
6. EB Schelbert, Cao JJ, S Sigurdsson, et al.: Prevalence and prognosis of unrecognized myocardial infarction deter-mined by cardiac magnetic resonance in older adults. *JAMA*. 308:890-896 2012
7. EB Turkbey, MS Nacif, Guo M, et al.: Prevalence and Corre-lates of Myocardial Scar in a US Cohort. *JAMA*. 314:1945-1954 2015
8. B Heydari, YH Juan, Liu H, et al.: Stress Perfusion Cardiac Magnetic Resonance Imaging Effectively Risk Stratifies Diabetic Patients With Suspected Myocardial Ischemia. *Circ Cardiovasc Imaging*. 9:e004136 2016
9. RH Chan, BJ Maron, I Olivotto, et al.: Prognostic value of quantitative contrast-enhanced cardiovascular mag-netic resonance for the evaluation of sudden death risk in patients with hypertrophic cardiomyopathy. *Circula-tion*. 130:484-495 2014
10. AS te Riele, H Tandri, DA Bluemke: Arrhythmogenic right ventricular cardiomyopathy (ARVC): cardiovascu-lar magnetic resonance update. *J Cardiovasc Magn Reson*. 16:502014
11. JN Dungu, O Valencia, JH Pinney, et al.: CMR-based dif-ferentiation of AL and ATTR cardiac amyloidosis. *JACC Cardiovasc Imaging*. 7:133-142 2014